

日大理工 正 大津岩夫

この報告は、自由跳水および鉛直連続シルによる潜り越流型強制跳水において 射流から常流への遷移領域の長さ(※参照)を明らかにし、さらにエプロン下流の洗掘に関する従来の実験結果<sup>2)</sup>に検討を加え シル型減勢工における水叩きの長さについて新たなる知見を得ようとしたものである。<sup>(1) 33回講 II-332, 1978  
(2) Rana, ASCE Hy. 1970.4</sup>

### 1. 遷移領域の長さ

自由越流型強制跳水<sup>1)</sup>の場合は、与えられた  $F_r, S/P_r$  に対して シル前方の強制跳水の大きさ  $x_s/L_j$  は下流水深  $h_2/h_1$  にかかわらず一定であるが、遷移領域の長さは  $h_2/h_1$  によって種々変化する(図-1)。

潜り越流型強制跳水<sup>1)</sup>の場合は、 $F_r, S/P_r$  が与えられたとき 一つの  $h_2/h_1$  に対して一つの  $x_s/L_j$  が対応し、一つの遷移領域の長さが確定する(図-2)。

以下、潜り越流型の遷移領域の長さ  $L_t$  について検討する。

強制跳水によるエネルギー損失  $H_L$  の達成される長さを  $L$  とすると、 $L$  は式(1)で示されるものと推論され、無次元化すると式(2)が得られる。<sup>(3) 大津 土木学会論文集246号, 1976.2.</sup>

$$L = f(H_1, H_L)$$

$$L/H_L = f(H_L/H_1) \quad (H = U^2/2g + P) \quad (2)$$

$L$  は巨視的にみると剝離領域の長さ  $L_r$  に比例するものと推論される。

$$L_t \propto L_r \quad (3)$$

さらに、遷移領域の長さ  $L_t$  は剝離領域の長さに比例するものと推論される。

$$L_t \propto L_r \quad (4)$$

式(1)～(4)より次式が推論される。

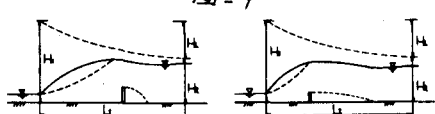
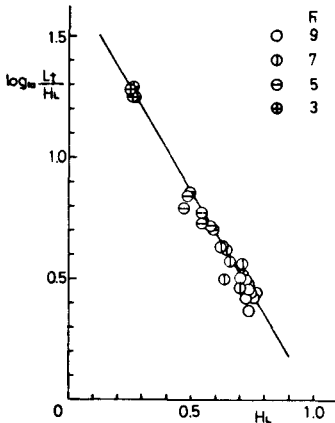
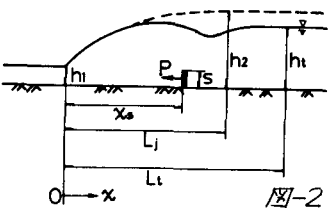
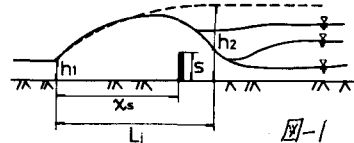
$$L_t/H_L = f(H_L/H_1) \quad (5)$$

なお、潜り越流型強制跳水の場合、跳水内の流速特性<sup>4)</sup>、遷移領域の長さを勘案すると、 $F_r \geq 3.5 \sim 4$  の場合、シルの効果は式(6)によつて示される範囲において大きいものと考えられる。<sup>(4) 土木学会関東支部年講 II-15, 1977</sup>

$$x_s/L_j \leq 0.7 (\div L_t/L_j) \quad (\text{すなわち } x_s \leq L_{rj} (\div 0.7 L_j)) \quad (6)$$

従つて、潜り越流型の場合には、シル設置位置が  $x_s/L_j \leq 0.7$  の場合を考慮の対象とする。( $L_j$  は跳水の長さ、 $L_{rj}$  はローラーの長さ(図-6参照)である)  
<sup>(5) 31回年講 II-148, 1976</sup>

式(5)に基づき実験値を整理すると、図-3に示されるように良い相関が得られる。実験によると、強制跳水の上下流端の水理条件を一定にして(従つて  $H_L = H_1 - H_2$  を一定にして)シル高を変えた場合、図-4に示されるようにシル高が大きいとシル前方の渦が大きく、シル後方の渦は小さくなり、シル高が小さいとシル前方の渦が小さく、シル後方の渦が大きくなることが観察される。また、シル高が非常に小さい場合は、シル後方の渦は非常に小さく、自由跳水の場合とは同様のローラーが形成されることが推定される。すなわち、与えられた  $H_L$  を得るためには、剝離領域の(注)シル下流において水面がレベルとなり、流速の水路方向の変化が急に小さくなつたシル下流の最前方の断面を遷移領域終端断面とし、この断面を水面形の測定およびピトー管による流速測定結果によつて決定した。この断面よりも上流では流れは大きく変化し、この断面よりも下流において流れは通常の開水路流に漸近する。遷移領域の長さを跳水始端から遷移領域終端までの長さとする。



長さ  $L_r$  従って  $L_t$  が  $H_L$  に結びつくものと推定されるから シル高にかかわらず ほゞ等しい遷移領域の長さ  $L_t$  となり、図-3 に示されるように良い相関が得られたものと考えられる。なお、実験式を求めるとき式(7)が得られる。

$$\log_{10}(L_t/H_L) = -1.7/(H_L/H_1) + 1.72 \quad (7)$$

$$x_s/L_t \leq 0.7 \quad 3 \leq F_r \leq 9.5$$

さらに設計に便利なように、式(7)を式(8)、(9)を用いて式(10)の関係に変換し 図示すると図-5 (実線)が得られる。 $L_t/H_1 = (L_t/H_L)(H_L/H_1)$  (8)

$$H_L/H_1 = \{F_r^2/2\} + 1 - \{F_r^2/2(H_1/R_1)^2 + (R_1/H_1)\} \quad (9)$$

$$H_L/H_1 = f(F_r, R_1/H_1) \quad (32回年譜 II-160, 1999) \quad (10)$$

$$f(L_t/H_1, F_r, R_1/H_1) = 0 \quad (10)$$

また、式(7)は自由跳水の場合も成立することが認められる。すなわち式(7)は  $S=0$ 、 $R_1/H_1 = R_2/H_1 = (\sqrt{8F_r^2+1}-1)/2$  の場合を含む統一的表示であり、この場合、式(7)を式(8)および式(11)を用いて式(12)の関係に変換して図-5 (実線)に示す。 $(f(L_t/H_1, F_r) = 0 \text{ に変換し、図-6(実線)に示す})$

$$H_L/H_1 = (\sqrt{8F_r^2+1}-3)^3/16(\sqrt{8F_r^2+1}-1) \quad (11)$$

$$f(L_t/H_1, F_r) = 0 \quad (12)$$

以上により、与えられた  $F_r$  に対して 鉛直シル ( $x_s/L_t \leq 0.7$  の場合) による潜り越流型強制跳水の遷移領域の長さ  $L_t/H_1$  は自由跳水の遷移領域の長さと同程度あるいはそれよりも短いことが示され シル設置の有効性が認められる。

## 2. シル下流の洗掘とエプロンの長さ

図-7 に示されるように シル下流が移動床の場合で 固定床における遷移領域下流 ( $X \geq L_t$ ) と同一の流況のもとで移動限界となる粒径の砂礫によって河床物質が構成されている場合 (すなわち、ダム設置以前の下流河川の掃流力を  $T_m$  とするとき、 $T_m = T_c$  (限界掃流力) の場合)、式(13)が成立するものと推論される。ここに、 $L_e$  は洗掘領域 (図-7, 8) を示す。

$$L_e \propto L_t \quad (13)$$

ただし、ダム上流側からの浸透流による Seepage force は無視できる場合を考えている。

Rand<sup>2)</sup> はシル下流が移動床の場合に遷移領域下流で移動限界となるような粒径の砂礫を用いて、自由跳水の場合 ( $R_1/H_1 = R_2/H_1$ )、および潜り越流型と自由越流型との境界状態 ( $R_1/H_1 = R_2/H_1$ )<sup>1)</sup> で強制跳水を形成させ、洗掘実験を行なった。このときの  $x_s/L_t \leq 0.7$  の場合の実験資料 ( $L_e$  の測定値) を再整理し、先に論じた固定床実験における遷移領域の長さ  $L_t$  を示す式(10)、(12)と比較したものを図-5(○印)示す。これより、自由跳水および  $x_s/L_t \leq 0.7$  のときの潜り越流型強制跳水の場合 (図-5, ○印)、 $L_e$  は  $L_t$  と同程度であることが示される。また、自由跳水、潜り越流型強制跳水とともに  $X=L_e$  までエプロンを延長し、固定床とすると河床洗掘は生じないことが認められている。 $x_s/L_t > 0.7$  の場合は、 $L_e$  は  $x_s/L_t \leq 0.7$  の場合よりもかなり大きいことが示される (図-5, +, ×印)。従って  $T_m = T_c$  の場合、与えられた  $F_r$ 、 $R_1/H_1$  に対して シル設置位置は  $x_s/L_t \leq 0.7$  であることが必要である。水叩の必要長さは  $L_t/H_1$  であることが示された。なお、 $T_m < T_c$  の場合は  $L_e < L_t$  となることが推定される。

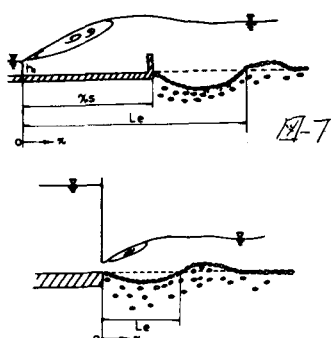
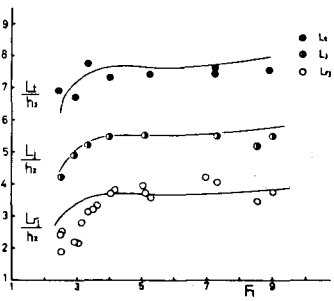
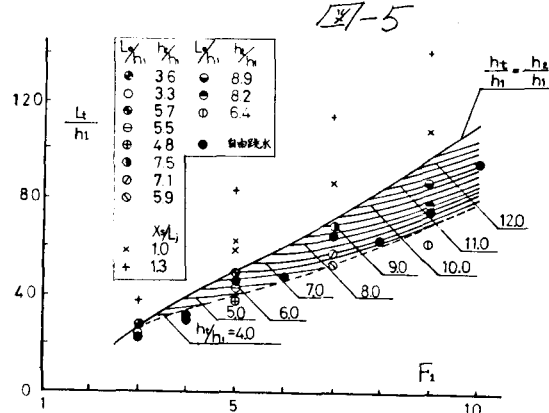


図-8